

Approximate Nearest Neighbors

Wegen der curse of Dimensionality und der unteren Schranke von $\Omega(n^{1-\frac{1}{d}})$ für orthog. Range Queries

glauben viele, dass es keine Sinn macht, Algos für NN in hohen Dimin. zu suchen, die ^{significantly} besser als $O(n)$ sind.
(und nur Platz $O(n)$ brauchen).

Was kann man tun? Mehr Platz sprechen: etwas machen.
Nicht exakt NN suchen (reicht für die allermeisten Appl.)

Dickerson, Duncan, Goodrich: Oct-trees
are better when cut on the longest side, ESA 2000.

Duncan, Goodrich, Kobayashi: Balanced aspect ratio trees...
Izaya, Mount, Netanyahu, Silverman, Wu:
An optimal algo for approx nearest neighbor searching -; 1998, S. 18+19

Def.:

Sei $S \subseteq \mathbb{R}^d$ eine Menge von Pkt., $q \in \mathbb{R}^d$ ein Query-Pkt.,
 $p^* \in S$ der NN, und $\varepsilon \geq 0$.

Dann heißt ein $p^* \in S$ " $(1+\varepsilon)$ -approximate nearest neighbor" \Leftrightarrow
 $d(p^*, q) \leq (1+\varepsilon) \cdot d(p^*, q)$.

Bezeichnungen:

Ab jetzt: v und $R(v)$ bzw. "Knoten" und "Region des Knoten"
sind Synonyme.

Annahme: metric space, d.h. $d()$ ist Metrik z.B. d_{eu}

$$d(p, q) := \|p - q\|, \quad d(v, q) := d(R(v), q)$$

P_v := der in v liegende Blatt, falls v Blatt ist
(sonst liegen wir ja $P(v)$ = Menge der in v liegenden Blätter)

Dadurch, daß wir mit einem "unendlich weit entfernten" Blatt
starten und bei $r=0$, geht aber bloß zunächst direkt
in den Blatt, das am dichtesten an q dran ist, oder
wo q dran liegt. Von da aus geht er sukzessive
zu immer weiter entfernt liegenden Blättern.



Algo:

Q = Priority-Queue mit Leiser auf Knoten im k-d-tree,
sortiert nach $d(v, q)$ = Abstand zw. q und v ; (kein min-heap)
kleiner Abstand vorne

$p^o :=$ Blatt unerwoll. weit weg (= aktueller Kandidat des $d(v, q)$)
(Bemerkung: es ist sehr wichtig, dass)

$v :=$ Root des k-d-tree
man hier mit einem "merkblichen"
Blatt startet! sonst könnte es

while $d(v, q) < \frac{1}{1+\epsilon} d(p^o, q)$:
prozessen, dass die
while v is inner node :
while $v \neq$ Blatt :

Blatt startet! sonst könnte es

nicht startet!)

seien v_1, v_2 die Kinder von v , und $d(v_1, q)$

füge v_2 in Q ein $\leq d(v_2, q)$

endwhile $v := v_1$

if $d(pv, q) < d(p^o, q)$: { v ist jetzt Blatt }

then

$p^o := pv$

$v \leftarrow \text{extractMin}(Q)$

$v :=$ minimales Element aus Q , lösche dieses aus Q ;

endwhile

return p^o

(Das entstandene ist, das der algo das p^* sucht für $\epsilon=0$ genau das, aber es nicht kennen will!) (auspr. algo, nur eben in iterativer Form)

Zeit: $O(l \cdot \log n)$, $l = \#$ besuchter Blätter

Bew.:

1. Korrektheit: Der u^* Blatt aus k-d-tree, das p^* enthält

a) u^* wurde besucht \Rightarrow algo liefert $p^* = p^o$

b) u^* wurde nicht besucht $\Rightarrow p^o \neq p^*$ \Rightarrow

$d(p^*, q) \geq d(u^*, q) \geq d(u, q) \geq \frac{1}{1+\epsilon} d(p^o, q)$

wobei $d()$ Matrik näherte Knoten werden zuerst abrundbar.
besucht

wobei in der zuletzt besuchte Knoten sei. (Blatt oder innerer Knoten)

2. Zeit:

auspr.

Pro Schleiferdurchlauf: l Knoten extrahieren, $O(\log n)$ Knoten einfügen;

General heap: $O(\log n)$ für extract & insert $\Rightarrow O(l \cdot \log^2 n)$

Fibonacci-Heap verwenden $\Rightarrow O(\log n)$ für Extract, $O(1)$ amortisierte Kosten für einfügen; $d(v, q)$ braucht $O(1)$ \Rightarrow Sch.

inner loop
Knoten

Bem.:

1. In der Praxis bleibt Heap relativ klein \rightarrow verwenden normalen Heap.
2. $d(v, q)$ braucht nur $O(1)$, nicht $O(d)$, weil man Distanz inkrementell aus Dist. zum Vater berechnen kann.
3. Analog geht "(1- ϵ)-furthest neighbor".
4. Gibt PD-Software "ANN Library", die gibt inswirksame bessere. S. Folien verwendet aber eine wesentlich komplexere Datenstruktur, weil damals noch nicht bekannt war, daß auch die alten "longest-side kd-trees" diese schöne $(1+\epsilon)$ -Genauigkeit haben.
5. # besuchter Blätter $\in O(\log^{d-1} n)$ [EST 2000]; zeigt man, indem man Schranke für Anzahl der Knoten des k-d-Tree findet, die einen Sumulus "durchstecken". Genauer: $O\left(\frac{(\log n)^{d-1}}{\epsilon^d}\right)$ gilt nur für "longest-side" kd-Tree!

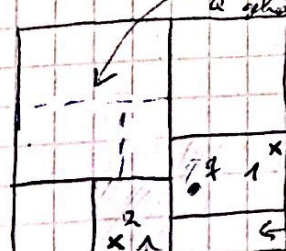


Fazit:

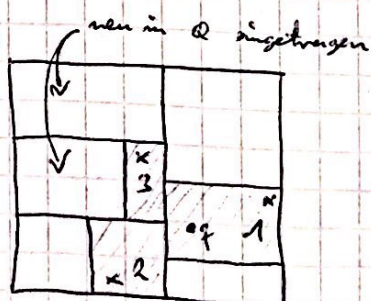
Zu einer Menge $S \subseteq \mathbb{R}^d$, $|S|=n$, und einem Query-Pkt $q \in \mathbb{R}^d$ findet man über $(1+\epsilon)$ -nearest neighbor in Zeit $O\left(\frac{\log^d n}{\epsilon^{d-1}}\right)$.

Bsp. zum Bsp.:

k-d-Tree, soweit so in der Lücke eingeschlagen ist/war:



g) wird als nächstes aus q geholt und bearb.



neu in Q eingeschlagen

in Q eingeschlagen
nach besuchter Blatt, aus q schon wieder entfernt.

"Beste" ANN-Algos

Achtung: "beste" hängt von vielen Faktoren ab!

- Metrik oder nicht-metrischer Abstand
- Verteilung der Pkte (hohe Korrelation oder uniform)
- Dimension

Folgende zwei Algos funktionieren in praxi sehr gut für viele Daten

Alternatives Abbruchkriterium: beschränkt max L_{max} auf alle Blätter.

Alternatives Güte-Maß des ANN-Algo:

$$\text{precision} = \frac{\# \text{ exakter NNs}}{\# \text{ Queries}}$$

$$\text{error} = 1 - \text{precision} \quad (\text{engl. "error"})$$

Randomized kd-Tree (RKD):

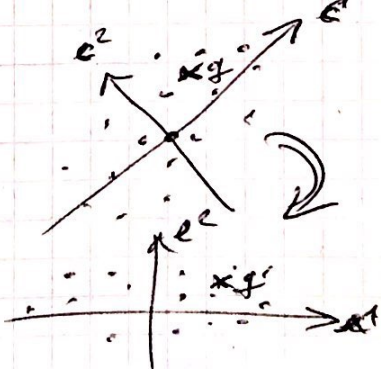
- Bestimme D Achsen (dimensionsweise) mit höchster Varianz der Pkte
- Wähle eine davon zufällig
- Splitte entlang Median dieser Achse

Experimente zeigen: D=5 reicht

Mujahid Lone: Fast approximate Nearest Neighbors with automatic algo configuration; 2009.
 Silpa-Anan & Hartley: Optimised KD-trees for fast image descriptor matching; 2008.

PCA-RKD:

- Bestimme Principal Components der Pkte P
- Transformiere Pkte $\rightarrow P'$
- Baue RKD über P'
- Transformiere Query-Pkt $q \rightarrow q'$
- Weiter mit bisherigem ANN-Algo



RKD-Forest (auch mit PCT) : today Rand. Forest
Same structure (20-50) RKD-trees über P (but P')

ANN-Search matches RKD-Forest:

Maintain 1 p-greene only (one for all)

(Estimate ein
wenig von
Random
Forests!)

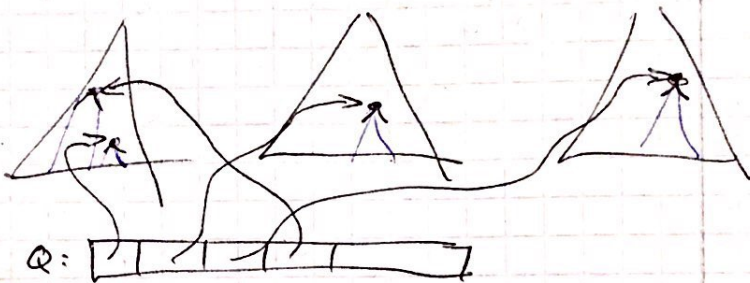
Descend each RKD-tree down to leaf closest to g
(first iteration of outer while loop of ANN algo)

Choose closest p^* of all those leaves

put others in p-greene

Proceed with ANN-algo as before

Q-dense contains pointers to nodes in different trees!



Warum funktioniert das besser?

Ex.: 1 Mio Blätter $\approx 2^{20} \Rightarrow$ Tiefe des kdt-Trees = 20

Dimension = 100 \Rightarrow ANN schaut 80 Einträge

von g gäbe nicht an!

\Rightarrow g und p^* in Blatt sind nah ^{close} zueinander
in 20 Dim., aber in den 80 anderen
nicht notwendigerweise

Hier hilft die Randomisierung und Ensemble
multiple Betrachtung:

- Beim klassischen ANN-Algo hängen die nacheinander (aus der P-dense kommend) besuchten Zellen stark voneinander ab
- Bei diesem Algo liegen die Zellen aus der P-dense in verschiedenen, randomisierten kdt-Trees \Rightarrow weniger Abhängigkeit darunter!

k -Means-Tree:

- 1. Partitioniere P mittels k -means-Clustering in k Cluster
- 2. Erzeuge für jeden Cluster einen k -Means-Tree
- 3. Erzeuge Knoten mit k Kindern

ANN-Search mittels k -Means-Tree:

Transversiere Baum bis zum nächsten Blatt
Schreibe nicht-besuchte Kinder in P -Dreiecke
Sortiere P -Dreiecke bzgl. $\text{dist}(q, \text{cluster-center})$
Stoppe nach L_{\max} besuchten Blättern

Bem.:

- k -means-Clustering benötigt auch ANN (allerdings immer nur zu den k Mittelpunkten der Cluster)
- Randomisierung und Forest haben ^{die} nichts getanzt (lt. Autoren)
- Aufbau ist rel. teuer \rightarrow führt zu wenigen Iterationen in k -means-Clustering durch, nicht bis Konvergenz laufen lassen.
ANN wird kaum beeinträchtigt

Evtl. noch
 kNN auf
W G.PC1 ?

Folien mit
"Results" zeigen

Arbeitsaufgabe 2: Texturesynthese

("texture synthesis", "image inpainting")

Weinberg & Levoy:
Fast texture synthesis
Siggraph 2000

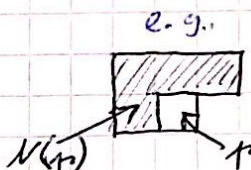
Gegeben: Textur I

Gesucht: größere Textur T , die genauso aussieht

Besch.:

- Der Abschnitt in einem "moving window" sieht immer gleich aus.
(muss hinreichend groß sein)
- Jedes Pixel hängt nur von einer gewissen lokalen Nachbarschaft ab
(Beides ist für Bilder nicht erfüllt.)

Bezeichnung: p_i = Pixel aus I , p_o = Pixel aus T ,
 $N(p_i)$ = Nachbarschaft von p_i
(d.h. p_i is not member of $N(p_i)$!)



d.h.:

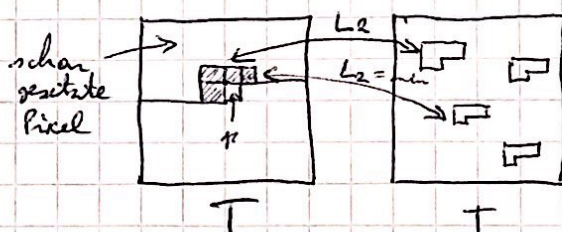
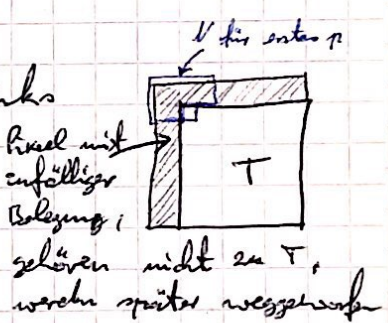
init $T :=$ schwarz plus Zufallsrand oben u. links

for all $p_o \in T$ in scan order:

(*) suche diejenige $p_i \in I$, mit

$$\|N(p_o) - N(p_i)\| = \min$$

setze $p_o := p_i$:



Schritt (*) ist

eine Nearest-Neighbor-Suche!

$N(p_o)$ sind d -dim. Ektoren, Distanzmaß ist eine Metrik
 \rightarrow verwendete $k-d$ -Trees.

$$d = \# \text{pixels in } N(p_o)$$

Händer:

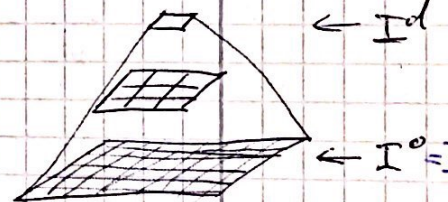
- Betrachte von I zu \mathbb{F} nur die inneren $N(p_i)$. (ist verans., daß I groß ist, so daß handgreiflich möglich nochmal im Innen vorkommen)
- Wrap-around für rechten Rand in \mathbb{F} (braucht man nicht für linken Rand).

Bem.:

- alle Pixel hängen deterministisch von den zufälligen Pixeln am linken u. oberen Rand ab (und I).
- (*) • Die Qualität hängt von der Größe von $N(p)$ ab (a.u.);
 - die Form von $N(p)$ ist beliebig, muß nur "konsal" sein.
 - Andere "Scans" sind möglich u. sinnvoll, z.B. spiralförmig, um ein Loch zu "stopfen"

(*) Log. für das Problem über "richtige" Größe der Nachbarschaft:

Image-Pyramide - unterster Level = orig. Bild;
jeder nächsthöhere Level entsteht aus dem darunter
durch Filterung (z.B. Gauss-FILTER) und Subsampling.



Hier:

bilde Pyramide I^l, I^{l+1}, \dots, I^d aus I ; (bottom-up) for T based pyramid top-down

erzeuge T^l aus $I^l, I^{l+1}, I^{l+2}, \dots, I^{l+k}$ wie oben;

Nachbarschaft $N(p)$ für p $\in T^l$ erstreckt sich

über T^l, \dots, T^{l+k} ; for each level l, build k-level

baue für jeden Level I^l einen kdt-tree mit

Pktten $N(p_i) \subseteq I^l \cup \dots \cup I^{l+k}$.

baue für jeden Level l einen kdt-tree mit

Pktten $N(p_i) \subseteq I^l \cup \dots \cup I^{l+k}$.

\uparrow T eben schon eingeschrieben, dann man nichts
mehr definieren, was v hier bedeutet

Beschleunigung durch "Jump Maps":

Idee: Nearest-Neighbor-Suche als Preprocessing

Im Input-Bild (Analogie):

Für jedes Pixel $P_i \in I$ im Input-Bild bestimme
die Nearest-Neighbors P_{ij} und ihre Wahrscheinlichkeit $p_{ij} = f(\frac{1}{d_{ij}})$
Basiert auf Distanz $d_{ij} = d(P_i, P_{ij}) \rightarrow$ Jump Map
(große Distanz \Rightarrow kleinere W.-heit)

Synthese + Abg.:

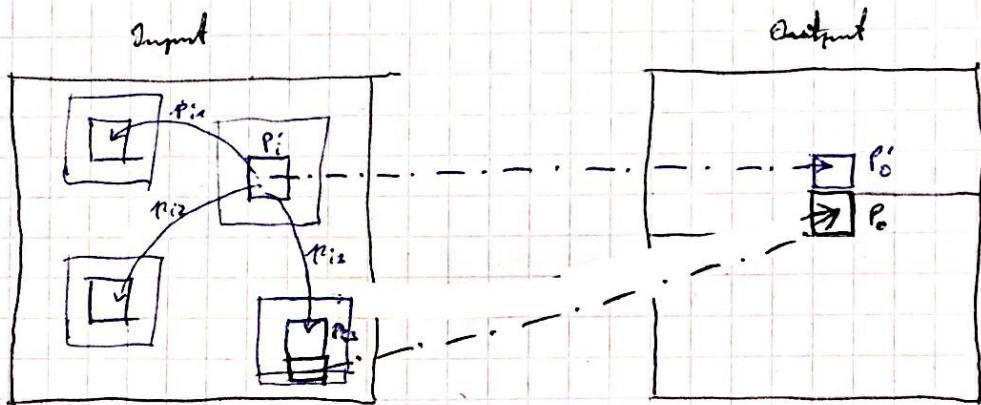
Output-Pixel $P_o \in O$ in Scandline Order (z.B.) durchzählen:

wähle einfüllig Pixel $P'_o \in N(P_o)$ des schon beschriftet ist

sei $P_i \in I$ Pixel aus Inputbild, aus dem P'_o her. wurde
wähle einfüllig, mit W.-heit $p'_{ij} \in I$, einen $P'_{ij} \in N(P'_o)$ von P'_o aus Jump Map

setze P_o wie analoges Pixel aus $N(P'_{ij})$

speichere dieses Verkennungspixel zu P_o



Analog mit Image-Pyramide:

Zehnhofer & Galand:
Towards Real-Time
Texture Synth ...
EG WS in Rendering -
2002

Issues:

1. Diversifizierung der k Nearest - Neighbors sicherstellen,
d.h., die Ws sollten hinreichend weit voneinander liegen
2. Vermeidung von Ränderbildung:
w. h. t. der
verhindern der Jumps, die in die Nähe des Randes
des Input-Bildes springen
3. Synth. - Reihenfolge:
besser bidirektionale Scanline - Ordnung;
noch besser: entlang Hilbert - Kurve
(dann kann man mit ca. gleicher W. fast
Nachbargixel aus allen 4 Richtungen wählen)

Resultat: ca. 800,000 Pixel/sec \approx
256x256 - Bild in 0.1 Sek (Pentium 3, 1GHz)

Anwendungsbsp 1: Shape-Matching

Aufgabe: Suchen in Bilddatenbanken durch Bsp., Medizindatenbanken (Röntgenaufnahmen), Internet, Schrifterkennung.

Shape = 2D-Kurve, 3D-Oberfläche (z.B. aus Kanten detektor, Segmentation, Polygone, ...)

Idee allg.:

1. Definiere Transf. Shape \rightarrow "feature vector" ($\in \mathbb{R}^d$ int.)
sollte invariant sein unter Rot. + Transl. (Tessellation, Descripto ist robust entl. auch unter Skalierung + Spiegelung (Bsp. etc., manchmal auch graph u.s.w.))
2. Definiere "dissimilarity measure" auf den Feature-Vektoren, so dass $d(f_1, f_2)$ groß \Rightarrow s_1 und s_2 sehr sehr verschieden aus.
3. Baue zur Shape-Datenbank einen k-d-tree auf (genauer: zu den Feature-Vektoren)
4. Suche best match zu Voltage durch Nearest-Neighbor-Suche (entw. k-NN)

Shape distribution:

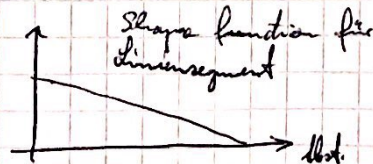
Wähle "shape function":

$$f(p_1, \dots, p_n) \rightarrow R$$

[Ondra, Finkhauser,
Chazelle, Albin:
"Matching 3D models
with shape distribution"
SMI 2001]

Z.B.: Abstand zw. Pkt., Flächeninhalt des Projekts dreier Pkt., ...
gesuchte lokale Krümmung
Sampole Oberfläche (= Rand) der Shape einfallig & uniform
mit $i \propto$ Pkt. \rightarrow "shape distribution" (= feature vector)
Spezielle als Histogramm.

$$\text{Bsp. für } f(p_1, p_2) = |p_1 - p_2|$$



z.B.:
Histogramm
für Kreis

Snuffel - Pair Histograms:

Betrachte wieder alle Paare p_1, p_2 des Input-Meshes (oder Sample).

Seien n_1, n_2 die Normale zu p_1, p_2 .

Setze $\bar{p} := \text{normalize}(p_2 - p_1)$

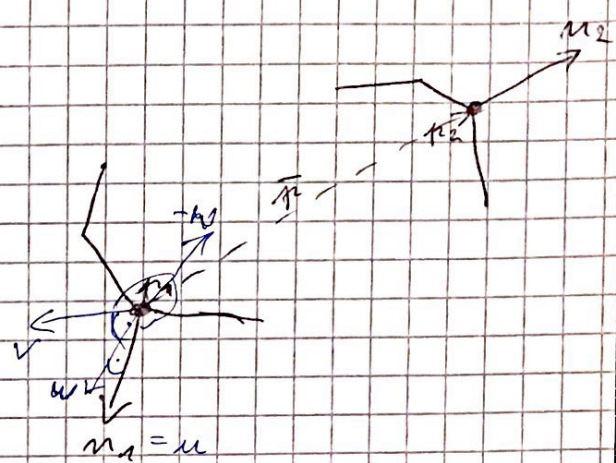
Wg Robustheit soll

$$|n_1 \cdot \bar{p}| \leq |n_2 \cdot \bar{p}|$$

rein, [also $\hat{\star}(n_1, \bar{p})$ "senkrecht" als $\hat{\star}(n_2, \bar{p})$]. Sonst

p_1, p_2 vertauschen.

Wall, Zillenbrandt, Hirzinger: "Snuffel-Pair-Relation in Histograms: A Statistical 3D-Shape Representation for Rapid Classification", 2003



Konstruiere lokales Koord. System

in p_1 :

$$u := n_1$$

$$v := \text{normalize}(\bar{p} \times u)$$

$$w := u \times v$$

Beschreibe p_2 relativ zu p_1 :

$$\alpha = \arctan 2(u \cdot n_2, v \cdot n_2)$$

$$\beta = \arccos(v \cdot n_2) = \hat{\star}(v, n_2)$$

$$\gamma = \arctan 2(u \cdot \bar{p}, w \cdot \bar{p})$$

$$\delta = \arccos(w \cdot \bar{p})$$

$$\epsilon = \|\bar{p}\|$$

(arctan mit V2)

n_2 in die uw-Ebene
projiziert und dann
Winkel mit der w-
Achse

Quantifizierte α, \dots, ϵ in z.B. $5^5 = 3125$ Bins

Damit $f_i(p_1, p_2) \rightarrow [0, 4]^5 \in \mathbb{N}^5$ = "feature vector"

Für geg. Geometrie, betrachte alle Paare (p_i, p_j) ,

bilde Histogramm aller Feature-Vektoren \rightarrow Shape-Histogramm

Für DB von Shapes: ~~feature~~ Shape-Histogramms (processing)

Note: invariant unter Rot. + Transl.!

Zwei Query-Times sindre UV zu einem gegebenen Histogramm h_Q .

Histogrammdistanz: ("histogram similarity")

1. euklidische Distanz

2. χ^2 -Test

3. likelihood: $L(Q, Q) = L = \sum_{\text{bins } i, j \in Q} \log h_Q(\text{bin}(x_1, x_2))$

wobei h_Q = Histogramm eines Objekts aus der DB

4. Kullback - Leibler - Divergenz:

$$K = \sum_{i \in \text{all bins}} h_Q(i) \cdot \ln \frac{h_Q(i)}{h_O(i)}$$

(asymmetrisches Maß für Unterschied zweier Verteilungen)

Ignorante (oder lastende) Terme, wodurch $h_Q(i) \neq 0 \neq h_O(i)$.

Terme mit $h_Q(i) = 0$ sind OK, da $\lim_{x \rightarrow 0} x \ln(x) = 0$.

Eigenschaften: $K \geq 0$, $K=0 \Leftrightarrow h_Q = h_O$

K und L scheinen am besten zu funktionieren

(im Paper 99% recognition rate, waren aber nur 20 Objekte)

Achtung: K ist keine Metrik!

(asymmetrisch, und Dreiecksungleichung gilt nicht!)

Eigenschaften: $K \geq 0$,

$$K=0 \Leftrightarrow h_Q = h_O$$

Für Iterative Closest Points (ICP):

Exkurs: Alignment / Registration of Shapes

Vorher Exkurs zu Quaternionen
in Folien.pptx!

Gegeben: zwei Pkt-Mengen
 $A = \{a_i\}$, $B = \{b_i\} \subseteq \mathbb{R}^3$.

Annahme: zwischen A, B besteht
eine (perfekte) Korrespondenz der Form

$$a_i = R b_i + t$$

wobei R = Rotationsmatrix, t = Translat. vektor

Gesucht: R, t

[Bemerkung: weil die Korrespondenzen später
nicht perfekt sein werden, wollen wir hier
nicht den naiven straight-forward Ansatz
wählen, bei dem man sich einfach die ersten
3 Pkte jew. nimmt, je ein ^{behaftet} Koord. system für
A bzw. B daraus baut, und diese dann
einander überführt.]

Definiere den least squares - Fehler

$$E^2 = \sum_{i=1}^m (R b_i + t - a_i)^2$$

Setze $\bar{a} = \frac{1}{n} \sum a_i$, $\bar{b} = \frac{1}{n} \sum b_i$ (Schwerpunkte)

Schreibe $a_i =: a'_i + \bar{a}$, $b_i =: b'_i + \bar{b}$

Eggert et al.:
Estimating 3-D Fused
Body Transformations,
A Comparison. 1997

[Iterative Closest Form
solution of absolute
orientation using
unit quaternions]

$$\text{Damit: } E^2 = \sum_i (R(b'_i + \bar{b}) + t - a'_i - \bar{a})^2 \\ = \sum_i (Rb'_i - a'_i + R\bar{b} + t - \bar{a})^2$$

Wenn wir das optimale R kennen & dann gilt für das opt. t :

$$R\bar{b} + t - \bar{a} = 0 \Leftrightarrow t = \bar{a} - R\bar{b}$$

Also definieren jetzt $E'^2 = \sum_i (Rb'_i - a'_i)^2$

Zur Vereinfachung: lasse Striche bei a'_i, b'_i ab jetzt weg.

$$\text{Also } E^2 = \sum_i (Rb_i - a_i)^2$$

$$= \sum_i ((Rb_i)^2 - 2(Rb_i)a_i + a_i^2)$$

$$= \sum_i b_i^T \underbrace{R^T \cdot R}_{= I} b_i + a_i^2 - 2a_i^T R b_i$$

$$= \sum_i b_i^2 + a_i^2 - 2a_i^T R b_i \stackrel{!}{=} \min$$

$$E^2 \text{ wird minimal} \Leftrightarrow E''^2 = \sum_i a_i^T R b_i = \max_{\substack{\in \mathbb{R}^{3 \times 3} \text{-Matrix}}}$$

Naherungsrechnung (Magie) mittels Quaternionen:

$$a^T R b = (0, a) \cdot q \circ (0, b) \circ q^* \quad \begin{matrix} \text{wobei } q \text{ das Quaternion} \\ \text{Skalarprod!} \end{matrix} \quad \begin{matrix} \text{wobei } q^* \text{ die Quat. mult! ist, das die} \\ \text{Rotation } R \text{ bearbeitet} \end{matrix}$$

$$\checkmark = (\underbrace{q \circ (0, b)}_{= Q} \circ q^*)^T (0, a)$$

$$= (Q^* (q \circ (0, b)))^T (0, a)$$

$$= (q \circ (0, b))^T \underbrace{Q^*}_{= Q^T} (0, a)$$

$$= (q \circ (0, b))^T \cdot ((0, a) \circ q)$$

$$= (Bq)^T \cdot (Aq)$$

$$= q^T B^T A q$$

wobei Q^* die Matrix ist, die die Quat. mult. mit q^* bewirkt
(s. Folien.ppt)

1 wobei A, B die Matrizen sind, die die Quaternionenmult. mit $(0, a)$ bzw $(0, b)$ bewirkt

↪ Schreibe darum

$$\begin{aligned} E^{112} &= \sum_i a_i^T R b_i = \sum_i q^T B_i^T A_i q \\ &= q^T \left(\sum_i B_i^T A_i \right) q = \max \quad \begin{array}{l} \text{Anatomin, das} \\ \text{Rotation } R \text{ repr.} \end{array} \\ M &= 4 \times 4 - \text{Matrix} = \text{Kovarianz-Matrix} (?) \end{aligned}$$

Das Anatomin, das E^{112} max werden lässt,

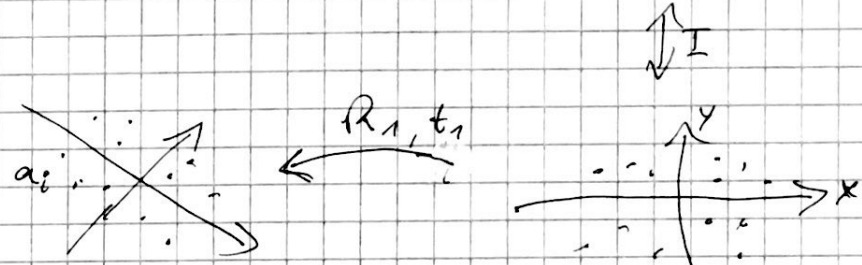
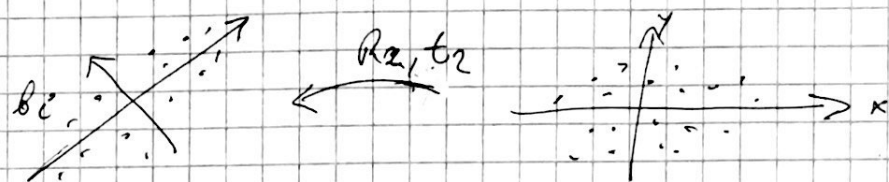
ist der größte Eigenvektor von M

→ transformiere diesen in Rot. matrix $R \rightarrow$ fertig

Oder: berechne PCA zu $\{a_i\} \rightarrow R_1$

" " " " $\{b_i\} \rightarrow R_2$

Rotation R von $\{b_i\}$ nach $\{a_i\}$ ist $R_1^{-1} \cdot R_2$



$$a_i = R_1^{-1} \cdot R_2^{-1} (b_i - t_2) + t_1$$

* Matrix enthält Terme der Form:

- $\sum_i a_x^i b_x^i + \sum_i a_y^i b_y^i + \sum_i a_z^i b_z^i$ auf der Diagonale
- $\sum_i a_x^i b_y^i - a_y^i b_x^i$ auf Off-Diagonale-Elementen